

· 研究论文 ·

# 新型磷-氮有机金属阻燃剂的合成及其热稳定性

熊宽宽, 王文涛, 赵斌, 刘亚青\*

(中北大学 山西省高分子复合材料技术研究中心, 山西 太原 030051)

**摘要:** 以  $\gamma$ -氨基丙基三乙氧基硅烷(1)和二苯基氯化膦(2)为原料, 经取代反应制得  $N$ -(二苯基膦基)-1,1-二苯基- $N$ -[3-(三乙氧基甲硅烷)丙基]膦氮配体(3); 3与六水合氯化镍(4)反应合成了一种新型的磷-氮有机金属阻燃剂(5), 其结构经 $^1\text{H}$  NMR,  $^{31}\text{P}$  NMR 和 FT-IR 表征。研究了物料比 [ $r = n(2) : n(1)$ ]、溶剂、反应时间和反应温度对3收率的影响。结果表明: 在最佳反应条件 [二氯甲烷为溶剂, 1 19 mmol,  $r = 2.3$ , 于 25 °C 反应 14 h] 下, 3 收率 89.5%。TGA 测试结果表明: 5 的初始分解温度为 252 °C, 700 °C 残炭为 31.9%。

**关 键 词:** 磷-氮阻燃剂; 有机金属; 合成; 热稳定性

中图分类号: O621.3

文献标志码: A

DOI: 10.15952/j.cnki.cjsc.1005-1511.2016.02.15372

## Synthesis and Thermal Stability of A Novel P – N Organometallic Flame Retardant

XIONG Kuan-kuan, WANG Wen-tao, ZHAO Bin, LIU Ya-qing\*

(Research Center for Engineering Technology of Polymeric Composites of Shanxi Province,  
North University of China, Taiyuan 030051, China)

**Abstract:**  $N$ -(diphenylphosphino)-1,1-diphenyl- $N$ -(3-(triethoxysilyl)propyl) phosphinamine (3) was prepared by substitution reaction of  $\gamma$ -aminopropyl triethoxysilane (1) with chlorodiphenyl phosphine (2). A novel P – N organometallic flame retardant (5) was synthesized by the reaction of 3 with nickel chloride hexahydrate (4). The structures were characterized by  $^1\text{H}$  NMR,  $^{31}\text{P}$  NMR and FT-IR. Effects of molar ratio [ $r = n(2) : n(1)$ ], solvent, reaction time and reaction temperature on the yield of 3 were investigated. The optimum reaction conditions were as followed: dichloromethane was solvent, 1 was 19 mmol,  $r$  was 2.3, reacted at 25 °C for 14 h. The yield of 3 was 89.5% under the optimum conditions. TGA results showed that the initial decomposition temperature of 5 was 252 °C and the char yield was about 31.9% at 700 °C.

**Keywords:** P – N flame retardant; organometallic; synthesis; thermal stability

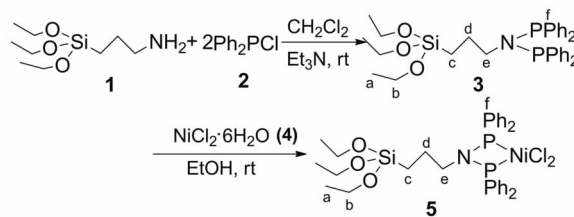
塑料、橡胶、纤维等高分子材料已被广泛应用于各个领域,但是绝大多数高分子材料属于易燃材料,且燃烧时会释放有毒气体,有较大安全隐患<sup>[1~2]</sup>。目前,在高分子材料中添加阻燃剂是提高

其热稳定性的主要方法<sup>[3]</sup>。以磷、氮、硅等阻燃元素为主要成分的具有协效阻燃效应的膨胀型阻燃剂(IFR),因具有无卤、无毒、低烟和无腐蚀性气体排放等优点而受到材料工作者的密切关注<sup>[4~6]</sup>。

然而,单纯通过增加 IFR 用量提高材料阻燃性能,会导致材料力学性能恶化。因此,如何在兼顾材料阻燃性能和力学性能的前提下减少 IFR 用量,成为困扰阻燃剂研究者的主要难题<sup>[7~9]</sup>。

Hu 等<sup>[10]</sup>发现二价(或高价)金属化合物对膨胀型阻燃体系具有良好的协同阻燃效果。金属化合物不仅能提高材料的阻燃性能,还能降低阻燃剂的用量。无机金属化合物协效阻燃的研究主要集中于直接共混法。直接共混法虽然操作简单,但无机金属化合物的极性与材料基体的极性差别较大,易团聚,进而导致应力集中现象,使材料的力学性能和电气性能变差<sup>[11~13]</sup>。金属螯合物型阻燃剂不仅分散性良好,更能有效提高材料的阻燃性能<sup>[14]</sup>。

本文在文献<sup>[15~17]</sup>研究基础上,以  $\gamma$ -氨丙基三乙氧基硅烷(**1**)和二苯基氯化膦(**2**)为原料,经取代反应制得 *N*-(二苯基膦基)-1,1-二苯基-*N*-[3-(三乙氧基甲硅烷)丙基]膦氮配体(**3**);**3**与六水合氯化镍(**4**)反应合成了一种新型的磷-氮有机金属阻燃剂(**5**, Scheme 1),其结构经<sup>1</sup>H NMR,<sup>31</sup>P NMR 和 FT-IR 表征。并对**3**的合成条件进行了优化。



Scheme 1

## 1 实验部分

### 1.1 仪器与试剂

Brucker 400 MHz 型核磁共振仪( $\text{CDCl}_3$ 为溶剂,TMS 为内标);Nicolet IS50 FT-IR 型傅立叶变换红外光谱仪(KBr 压片);ZCT-A 型差热热重分析仪(氮气气氛,升温速率  $20\text{ }^\circ\text{C} \cdot \text{min}^{-1}$ )。

**1**(99%),天大化学试剂厂;**2**(97%),长根化学科技有限公司;**4**(98%),博迪化工有限公司;其余所用试剂均为分析纯。

### 1.2 合成

#### (1) **3** 的合成

在反应瓶中加入**1** 4.46 mL(19.0 mmol)和  $\text{CH}_2\text{Cl}_2$  20 mL, 搅拌使其分散均匀;依次滴加**2**

7.7 mL(42.9 mmol)和三乙胺 5.8 mL,滴毕,于  $25\text{ }^\circ\text{C}$  反应 14 h 得淡黄色黏稠液体。经中性氧化铝闪柱(洗脱剂:THF,旋蒸除溶,残余物于  $40\text{ }^\circ\text{C}$  干燥)纯化得淡黄色固体**3**,产率 89.5%, m. p. 66~68  $^\circ\text{C}$ ; <sup>1</sup>H NMR  $\delta$ : 0.19(t,  $J = 8.4\text{ Hz}$ , 2H, c-H), 1.10(t,  $J = 7.2\text{ Hz}$ , 9H, a-H), 1.16~1.28(m, 2H, d-H), 3.17~3.26(m, 2H, e-H), 3.61(q,  $J = 7.2\text{ Hz}$ , 6H, b-H), 7.30~7.42(m, 20H, PhH); FT-IR  $\nu$ : 3 045, 2 976, 2 886, 1 479, 1 432, 1 080, 1 019, 953, 865, 793, 735, 690  $\text{cm}^{-1}$ 。

#### (2) **5** 的合成

在反应瓶中加入**4** 0.944 g(4.0 mmol)和乙醇 15 mL,搅拌使其溶解;滴加**3** 2.48 g(4.2 mmol)的乙醇(15 mL)溶液,滴毕,于室温反应 1 h。旋蒸除溶,残余物用 THF 洗涤,干燥得砖红色固体**5**,产率 92.7%, m. p.  $\geq 250\text{ }^\circ\text{C}$ ; <sup>1</sup>H NMR  $\delta$ : 0.14(t,  $J = 8.0\text{ Hz}$ , 2H, c-H), 1.02(t,  $J = 7.2\text{ Hz}$ , 9H, a-H), 1.17(m, 2H, d-H), 2.74~2.84(m, 2H, e-H), 3.56(q,  $J = 7.2\text{ Hz}$ , 6H, b-H), 7.52~7.99(m, 20H, PhH)。

## 2 结果与讨论

### 2.1 **3** 的合成条件优化

为优化**3**的合成条件,研究了物料比 [ $r = n(\text{2}) : n(\text{1})$ ]、溶剂、反应时间和反应温度对**3**收率的影响,寻找最佳反应条件。

#### (1) $r$

以二氯甲烷为溶剂,**1** 19 mmol,其余反应条件同 1.2(1),考察  $r$  对产率的影响,结果见表 1。

表 1  $r$  对**3** 产率的影响\*

Table 1 Effect of  $r$  on yield of **3**

$r$	2.0	2.1	2.2	2.3	2.4
产率/%	82.7	85.6	87.5	89.5	89.9

\* **1** 19 mmol,其余反应条件同 1.2(1)。

由表 1 可知,随着**2** 用量逐渐增大,产率先增大后趋于平稳。当  $r = 2.3$  时,产率达 89.5%;继续增加**2** 的用量,产率增加已不明显。最佳  $r = 2.3$ 。

#### (2) 溶剂

**1** 19 mmol,  $r = 2.3$ ,其余反应条件同 2.1(1),考察溶剂对产率的影响,结果见表 2。

由表 2 可见,以二氯甲烷为溶剂,产率较高

(89.5%)。其原因在于:取代反应中实际参与反应的原料为经  $\text{Et}_3\text{N} \cdot \text{HCl}$  质子化的 **2**,二氯甲烷对  $\text{Et}_3\text{N} \cdot \text{HCl}$  的溶解性优于 THF,从而使反应体系中质子化的 **2** 浓度较高,提高了产率。因此,最佳溶剂为二氯甲烷。

表 2 溶剂对 **3** 产率的影响\*

Table 2 Effect of solvents on yield of **3**

溶剂	THF	$\text{CH}_2\text{Cl}_2$
产率/%	52.7	89.5

\* **1** 19 mmol,  $r = 2.3$ , 其余反应条件同表 1。

### (3) 反应时间

以二氯甲烷为溶剂, **1** 19 mmol,  $r = 2.3$ , 其余反应条件同 2.1(1), 考察反应时间对产率的影响,结果见表 3。

表 3 反应时间对产率的影响

Table 3 Effect of reaction time on yield

时间/h	10	12	14	16	18
产率/%	83.6	85.7	89.5	87.4	86.9

\* 以二氯甲烷为溶剂,其余反应条件同表 2。

由表 3 可知, **3** 的产率随着反应时间的延长呈先增大后降低的趋势。这是因为在一定反应时间内,反应时间增加,反应向正反应进行的程度越大。但反应时间过长,反应体系的副反应增多,导致产率下降。因此选择反应时间为 14 h。

### (4) 反应温度

以二氯甲烷为溶剂, **1** 19 mmol,  $r = 2.3$ , 反应时间为 14 h,其余反应条件同 1.2(1), 考察反应温度对产率的影响,结果见表 5。

表 4 反应温度对 **3** 产率的影响\*

Table 4 Effect of reaction temperature on yield of **3**

温度/℃	0~25	25
产率/%	90.3	89.5

\* 反应时间 14 h,其余反应条件同表 3。

由表 4 可知,先在冰水浴反应 30 min,再于 25 ℃继续反应的条件下, **3** 产率更高。这是因为滴加 **2** 时,反应体系大量放热,导致副反应发生。但综合考虑反应设备和成本问题后,选取最佳反应温度为 25 ℃。

综上可见,合成 **3** 的最佳条件为:二氯甲烷为溶剂, **1** 19 mmol,  $r = 2.3$ ,于 25 ℃反应 14 h, **3** 收

率 89.5%。

## 2.2 表征

### (1) $^1\text{H}$ NMR

图 1 为 **3** 的  $^1\text{H}$  NMR 谱图。由图 1 可知,  $\delta$  1.08, 3.58, 0.17, 1.15, 3.16 与 7.26 附近的吸收峰分别归属于  $\text{SiOCH}_2\text{CH}_3$ ,  $\text{SiOCH}_2\text{CH}_3$ ,  $\text{SiCH}_2\text{CH}_2\text{N}$ ,  $\text{SiCH}_2\text{CH}_2\text{CH}_2\text{N}$ ,  $\text{SiCH}_2\text{CH}_2\text{CH}_2\text{N}$  以及  $\text{PhH}$  的质子峰,其积分面积之比为:8.98:5.98:2.04:2.18:2.05:19.97,与理论个数之比(9:6:2:2:2:20)非常接近。

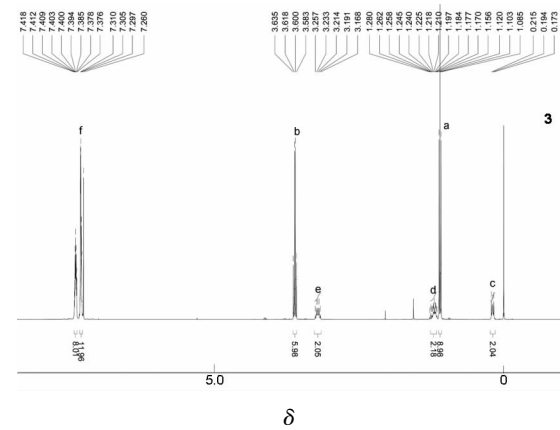


图 1 **3** 的  $^1\text{H}$  NMR 谱图

Figure 1  $^1\text{H}$  NMR spectrum of **3**

图 2 为 **5** 的  $^1\text{H}$  NMR 谱图。由图 2 可知,  $\delta$  1.00, 3.53, 0.12, 1.17, 2.74 与 7.26 附近的吸收峰分别归属于  $\text{SiOCH}_2\text{CH}_3$ ,  $\text{SiOCH}_2\text{CH}_3$ ,  $\text{SiCH}_2\text{CH}_2\text{CH}_2\text{N}$ ,  $\text{SiCH}_2\text{CH}_2\text{CH}_2\text{N}$ ,  $\text{SiCH}_2\text{CH}_2\text{CH}_2\text{N}$  以及  $\text{PhH}$  的质子峰,其积分面积之比为:8.86:5.82:2.06:2.22:1.97:20.06,与理论个数之比(9:6:2:2:2:20)非常接近。

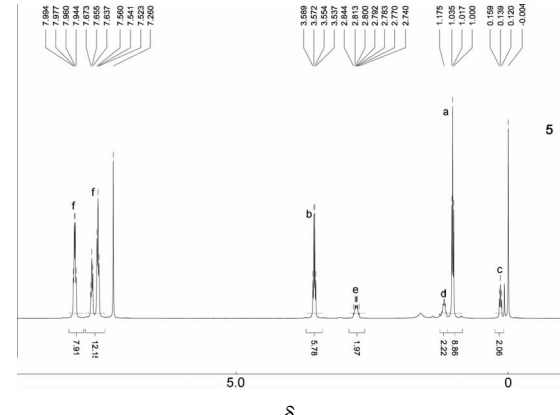
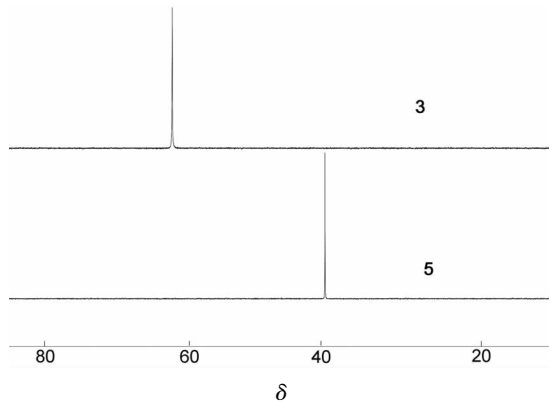


图 2 **5** 的  $^1\text{H}$  NMR 谱图

Figure 2  $^1\text{H}$  NMR spectrum of **5**

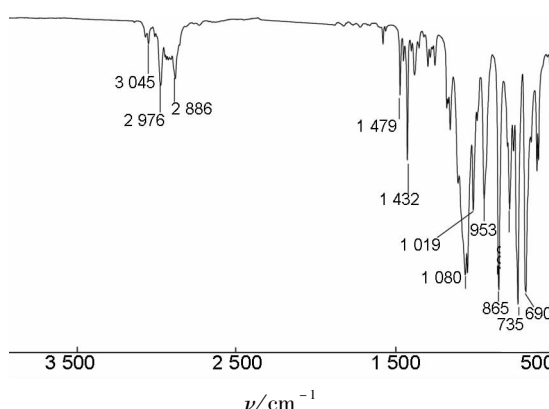
(2)  $^{31}\text{P}$  NMR

图3为 $\mathbf{3}$ 和 $\mathbf{5}$ 的 $^{31}\text{P}$  NMR谱图。由图3可知, $\mathbf{5}$ 在 $\delta$ 41.46处有单个磷原子的信号峰。与 $\mathbf{3}$ 的磷原子的化学位移( $\delta$ 62.47)相比,发生了明显迁移,表明 $\mathbf{3}$ 发生了化学反应。

图3  $\mathbf{3}$  和  $\mathbf{5}$  的  $^{31}\text{P}$  NMR 谱图Figure 3  $^{31}\text{P}$  NMR spectra of  $\mathbf{3}$  and  $\mathbf{5}$ 

## (3) FT-IR

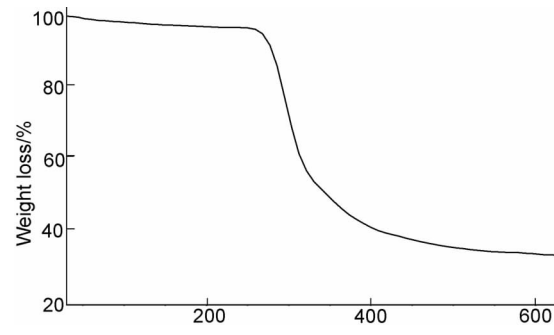
图4为 $\mathbf{3}$ 的FT-IR谱图。从图4可知,3 045  $\text{cm}^{-1}$ 处特征峰为苯环C-H伸缩振动吸收峰,1 479  $\text{cm}^{-1}$ 处特征峰为苯环骨架伸缩振动吸收峰,690  $\text{cm}^{-1}$ , 793  $\text{cm}^{-1}$ 和865  $\text{cm}^{-1}$ 处特征峰为-CH-面外弯曲吸收峰,1 019  $\text{cm}^{-1}$ 处特征峰为-CH-面内弯曲吸收峰,953  $\text{cm}^{-1}$ 处吸收峰为 $\text{CH}_3$ 振动吸收峰,2 976  $\text{cm}^{-1}$ 和2 886  $\text{cm}^{-1}$ 处特征峰为-CH<sub>2</sub>-伸缩振动吸收峰,1 432  $\text{cm}^{-1}$ 处特征峰为苯基膦的吸收峰,735  $\text{cm}^{-1}$ 处特征峰为P-N的吸收峰,1 080  $\text{cm}^{-1}$ 处特征峰为Si-O-C吸收峰。

图4  $\mathbf{3}$  的 FT-IR 谱图Figure 4 FT-IR spectrum of  $\mathbf{3}$ 

## 2.3 热稳定性

图5为 $\mathbf{5}$ 的TGA曲线。从图5可知, $\mathbf{5}$ 的初始分解温度为252  $^{\circ}\text{C}$ ,超过了普通高分子材料的

加工温度(200  $^{\circ}\text{C}$ ),可用于常规高分子材料阻燃。 $\mathbf{5}$ 的最大分解温度为289  $^{\circ}\text{C}$ ,700  $^{\circ}\text{C}$ 残炭为31.9%。 $\mathbf{5}$ 热稳定性较好的原因在于:(1) $\mathbf{5}$ 受热分解能够形成富含Si-O-C和Si-C的保护层;(2)金属镍在阻燃剂热解的过程中也起到了催化成炭的作用。因此, $\mathbf{5}$ 是一种具备较好热稳定性和成炭性的阻燃剂。

图5  $\mathbf{5}$  的 TGA 曲线Figure 5 TGA curve of  $\mathbf{5}$ 

## 3 结论

(1)以 $\gamma$ -氨基三乙氧基硅烷( $\mathbf{1}$ )和二苯基氯化磷( $\mathbf{2}$ )为原料,合成了中间体——N-(二苯基膦基)-1,1-二苯基-N-[3-(三乙氧基甲硅烷)丙基]膦氮配体( $\mathbf{3}$ )。合成 $\mathbf{3}$ 的最佳反应条件为:二氯甲烷为溶剂, $\mathbf{1}$  19 mmol,  $r[n(\mathbf{2}):n(\mathbf{1})]=2.3$ ,于25  $^{\circ}\text{C}$ 反应14 h,产率89.5%。 $\mathbf{3}$ 和六水合氯化镍反应合成了一种新型的磷-氮有机金属阻燃剂( $\mathbf{5}$ )。

(2) $\mathbf{5}$ 的初始分解温度为252  $^{\circ}\text{C}$ ,700  $^{\circ}\text{C}$ 残炭为31.9%,热稳定性和成炭性能较好。

## 参考文献

- [1] Yoshioka T M, Condon B D, Santiago C M, et al. Enhanced flame retardant property of fiber reactive halogen-free organophosphonate [J]. Industrial & Engineering Chemistry Research, 2012, 51(34): 11031–11037.
- [2] Cao Z, Zhang Y, Zhao L, et al. Improving the flame retardancy and mechanical properties of high-density polyethylene-g-maleic anhydride with a novel organic metal phosphonate [J]. Journal of Analytical and Applied Pyrolysis, 2013, 102: 154–160.
- [3] Zhao P, Zhang M, Wu D, et al. Synthesis of a novel triazine flame retardant containing sulfur and its application to cotton fabrics [J]. Korean Journal of Chemical Engineering, 2013, 30(9): 1687–1690.

- [4] 勿登辉,赵培华,刘亚青. 新型磷-氮膨胀型阻燃剂的合成及其热稳定性[J]. 合成化学,2013,21(6):663–666.
- [5] 李小吉,李秀云,马寒冰,等. 磷-硅阻燃剂在膨胀型阻燃聚丙烯中的应用研究[J]. 中国塑料,2012,26(9):83–87.
- [6] 熊联明,芦静,向顺成,等. 含磷/硅阻燃剂的研究进展[J]. 精细与专用化学品,2012,20(5):23–26.
- [7] 王静,许苗军,李斌. 次磷酸铝/磷腈衍生物协效阻燃PBT的性能研究[J]. 塑料科技,2015,43(008):82–85.
- [8] El-Hady M M A, Farouk A, Sharaf S. Flame retardancy and UV protection of cotton based fabrics using nano ZnO and polycarboxylic acids [J]. Carbohydrate polymers,2013,92(1):400–406.
- [9] Gallo E, Schartel B, Acierro D, et al. Flame retardant biocomposites: Synergism between phosphinate and nanometric metal oxides [J]. European Polymer Journal,2011,47(7):1390–1401.
- [10] Hu S, Song L, Pan H, et al. Thermal properties and combustion behaviors of chitosan based flame retardant combining phosphorus and nickel [J]. Industrial & Engineering Chemistry Research, 2012, 51 (9): 3663–3669.
- [11] 陆桂焕,贺鸣,卢红,等. 纳米 SiO<sub>2</sub> 和 MgAl-SDBS-LDHs 在聚丙烯中的协同分散及协效阻燃性能研究[J]. 材料导报,2015,29(8):62–67.
- [12] Zhang Y, Li X, Cao Z, et al. Synthesis of zinc phosphonated poly(ethylene imine) and its fire-retardant effect in low-density polyethylene [J]. Industrial & Engineering Chemistry Research, 2015, 54(13):3247–3256.
- [13] 赵明飞. 聚合物/无机纳米复合材料的制备与稳定性研究[D]. 兰州:兰州大学,2008.
- [14] 曹贞虎. 含磷有机金属化合物的合成及其对聚乙烯的阻燃作用[D]. 杭州:浙江大学,2012.
- [15] 刘胜男,赵培华,李欣航,等. 新型三嗪类氮-硅成炭剂的合成及其热稳定性[J]. 合成化学,2015,23(1):27–30.
- [16] Liu Y, Cao Z, Zhang Y, et al. Synthesis of zinc N-morpholinomethylphosphonic acid and its application in high density polyethylene [J]. Fire Safety Journal, 2015, 71:1–8.
- [17] Yu L, Chen L, Dong L P, et al. Organic-inorganic hybrid flame retardant: Preparation, characterization and application in EVA [J]. RSC Advances, 2014, 4(34):17812–17821.

(上接第114页)

- 
- [4] 刘涛,王奂祎,贺站锋,等. WO<sub>3</sub>/Al<sub>2</sub>O<sub>3</sub>-TiO<sub>2</sub> 催化剂的制备及其在甘油气相脱水制备丙烯醛中的应用[J]. 合成化学,2013,21(4):410–414.
- [5] 王奂祎,刘涛,贺站锋,等. H<sub>3</sub>[PMo<sub>12</sub>O<sub>40</sub>]·nH<sub>2</sub>O/SiO<sub>2</sub>催化剂的制备及其催化性能[J]. 合成化学,2014,22(1):97–99.
- [6] Chai S H, Wang H P, Liang Y, et al. Sustainable production of acrolein: Investigation of solid acid-base catalysts for gas-phase dehydration of glycerol [J]. Green Chem, 2007, 9:1130–1136.
- [7] Chai S H, Wang H P, Liang Y, et al. Sustainable production of acrolein: Gas-phase dehydration of glycerol over Nb<sub>2</sub>O<sub>5</sub> catalyst [J]. J Catal, 2007, 250(2):342–349.
- [8] Jia C J, Liu Y, Schmidt W, et al. Small-sized HZSM-5 zeolite as highly active catalyst for gas phase dehydration of glycerol to acrolein [J]. J Catal, 2010, 269(1):71–79.
- [9] Kawi S, Shen S C, Chew P L. Generation of Brønsted acid sites on Si-MCM-41 by grafting of phosphorus species [J]. J Mater Chem, 2002, 12:1582–1586.
- [10] Karthikeyan G, Pandurangan A. Heteropolyacid (H<sub>3</sub>PW<sub>12</sub>O<sub>40</sub>) supported MCM-41: An efficient solid acid catalyst for the green synthesis of xanthenedione derivatives [J]. J Mol Catal A-Chem, 2009, 311(1–2):36–45.
- [11] Kresge C T, Leonowicz M E, Roth W J, et al. Ordered mesoporous molecular sieves synthesized by a liquid-crystal template mechanism [J]. Nature, 1992, 359:710–712.
- [12] Beck J S, Vartuli J C, Roth W J, et al. A new family of mesoporous molecular sieves prepared with liquid crystal templates [J]. J Am Chem Soc, 1992, 114(27):10834–10843.